

## ANALISIS STRUKTUR DAN KOMPOSISI FASA SERBUK Mg<sub>2</sub>TiO<sub>4</sub>

Sakinatus Zahro<sup>1</sup>, Frida U. Ermawati<sup>2</sup>

<sup>1,2</sup>Jurusan Fisika, Fakultas Matematika dan Ilmu Pengetahuan Alam, Universitas Negeri Surabaya

Email: <sup>1</sup>[sakinatuszahro@mhs.unesa.ac.id](mailto:sakinatuszahro@mhs.unesa.ac.id); <sup>1</sup>[sakinazahro@gmail.com](mailto:sakinazahro@gmail.com)

<sup>2</sup>[frida.ermawati@unesa.ac.id](mailto:frida.ermawati@unesa.ac.id)

### Abstrak

Telah dilakukan sintesis serbuk Mg<sub>2</sub>TiO<sub>4</sub> (disingkat MTO) dengan metode pencampuran larutan, dengan bahan awal berupa serbuk logam Mg dan Ti (*Merck*) dan pelarut HCl. Serbuk MTO dikalsinasi pada temperatur 1000 °C selama 4 jam. Hasil uji XRD menunjukkan bahwa serbuk MTO 1000 berstruktur MgTiO<sub>3</sub> (No. PDF 06-0494), MgO (No. PDF 45-0946), dan Mg<sub>2</sub>TiO<sub>4</sub> (No. PDF 25-1157). Hasil tersebut didukung oleh data FTIR. Fasa Mg<sub>2</sub>TiO<sub>4</sub> terbentuk dengan persentase molar sebesar (5,75 ± 0,12)%. Data distribusi ukuran partikel dari sampel uji juga disertakan.

**Kata Kunci:** metode pencampuran larutan, MTO, Mg<sub>2</sub>TiO<sub>4</sub>.

### Abstract

Synthesis of Mg<sub>2</sub>TiO<sub>4</sub> (abbreviated MTO) has been carried out by liquid mixing method from Mg and Ti (*Merck*) metal powders as the starting materials and HCl as a solvent. MTO powder was calcined at 1000 °C for 4h. The XRD results showed that MTO 1000 has the structure of MgTiO<sub>3</sub>, MgO and Mg<sub>2</sub>TiO<sub>4</sub>. The Mg<sub>2</sub>TiO<sub>4</sub> phase was formed very minor with a molar percentage of (5.75 ± 0.12) %. This result is supported by FTIR data. The particle size distribution data from the test sample is also included.

**Keywords:** liquid mixing method, MTO, Mg<sub>2</sub>TiO<sub>4</sub>.

### PENDAHULUAN

Bahan dielektrik keramik umumnya dipergunakan sebagai komponen elektronika pada sistem-sistem komunikasi pada daerah frekuensi gelombang mikro, seperti filter resonator, antena, radar dan sistem pemosisi global (SPG). Dielektrik keramik Mg<sub>2</sub>TiO<sub>4</sub> (*qandilite*) adalah salah satu fasa dari magnesium titanate yang berstruktur *inverse spinel*, memiliki *space grup* Fd-3m (Wechsler and Von Dreele 1989; Bhuyan et al., 2013). Magnesium Orthotitanate atau Mg<sub>2</sub>TiO<sub>4</sub> banyak digunakan untuk berbagai aplikasi pada daerah gelombang mikro. Ye et al., (2013) melaporkan bahwa keramik berbasis Mg<sub>2</sub>TiO<sub>4</sub> banyak dimanfaatkan sebagai resistor panas, bahan dielektrik untuk teknologi komunikasi gelombang mikro, kapasitor untuk kompensasi suhu. Sedangkan Petrova et al., (1997) dan Belous et al., (2006, 2007) melaporkan bahwa keramik Mg<sub>2</sub>TiO<sub>4</sub> merupakan salah satu bahan dielektrik terkemuka untuk berbagai aplikasi gelombang mikro dengan konstanta dielektrik ( $\epsilon_r$ ) 13–14, faktor kualitas tinggi ( $Q \times f$ ) ~150.000 GHz pada frekuensi 10 GHz, dan koefisien frekuensi resonansi ( $\tau_f$ ) ~50 ppm/°C.

Perolehan-perolehan hasil di atas telah mendorong beberapa peneliti untuk mempelajari lebih lanjut tentang fabrikasi serbuk keramik Mg<sub>2</sub>TiO<sub>4</sub>. *Solid-state reaction* merupakan salah satu metode fabrikasi serbuk keramik yang umum digunakan untuk mensintesis serbuk Mg<sub>2</sub>TiO<sub>4</sub> atau disingkat MTO. Petrova et al., (1997) dan Belous et al., (2006) berhasil mensintesis serbuk MTO menggunakan metode *solid-state reaction*, namun dibutuhkan temperatur sinter tinggi (di atas 1300 °C). Selain itu masih ditemukan fasa sekunder (MgTiO<sub>3</sub>) yang sulit dihindari. Beberapa peneliti juga melaporkan hasil sintesis serbuk MTO dengan berbagai metode, diantaranya metode *high energy ball milling* (Cheng et

al., 2015), dimana fasa Mg<sub>2</sub>TiO<sub>4</sub> berhasil diperoleh pada temperatur kalsinasi 1000 °C. Temperatur ini jauh lebih rendah dibandingkan menggunakan metode *solid-state reaction* (Petrova et al., 1997). Silva et al., (2005) dengan metode *polymeric precursor* pada temperatur kalsinasi 1200 °C memperoleh fasa Mg<sub>2</sub>TiO<sub>4</sub> sebagai fasa utama, dan MgTiO<sub>3</sub> sebagai fasa sekunder. Bhuyan et al., (2013) telah melakukan sintesis serbuk MTO dengan metode *mechanical*. Serbuk MTO disinter pada temperatur 1300, 1325, 1400 °C dan memperoleh fasa tunggal tanpa impuritas. Dari metode-metode tersebut ternyata untuk memperoleh fasa Mg<sub>2</sub>TiO<sub>4</sub> dibutuhkan temperatur kalsinasi dan sinter yang tinggi.

Metode pencampuran larutan (*liquid mixing method*) telah diperkenalkan sebagai salah satu metode alternatif yang digunakan beberapa peneliti untuk fabrikasi serbuk prekursor pada sistem yang berbeda, yaitu: (Zhang et al., 2010) pada sistem LiNi<sub>1/3</sub>Mn<sub>1/3</sub>Co<sub>2/3</sub>O<sub>2</sub>, (Xu et al., 2002) pada sistem Ba(Mg<sub>1/3</sub>Ta<sub>2/3</sub>)O<sub>3</sub>, (Ermawati et al., 2015) pada sistem Mg<sub>0.8</sub>Zn<sub>0.2</sub>TiO<sub>3</sub> dan (Ermawati et al., 2016) pada sistem Mg<sub>1-x</sub>Zn<sub>x</sub>TiO<sub>3</sub>,  $x = 0\text{--}0.5$ . Namun metode pencampuran larutan ini belum pernah dicoba untuk sintesis serbuk MTO amorf.

### METODE

#### A. Material

Bahan awal yang digunakan dalam penelitian ini adalah serbuk logam Mg dan Ti (*Merck*) dan HCl 37% 12 M.

#### B. Preparasi Sampel

Dalam penelitian ini, serbuk MTO disintesis menggunakan metode pencampuran larutan (*liquid mixing method*). Preparasi sampel dilakukan dengan cara

melarutkan masing-masing serbuk Mg dan Ti kedalam larutan HCl membentuk larutan  $MgCl_2$  dan  $TiCl_4$ . Kedua larutan yang terbentuk kemudian dicampur menjadi satu, diaduk secara konstan selama 2 jam sampai homogen, kemudian dikeringkan diatas hotplate stirer pada temperatur 100-110 °C sampai kering berwarna putih keungguan (mengerak), selanjutnya dilakukan penggerusan untuk mendapatkan serbuk MTO.

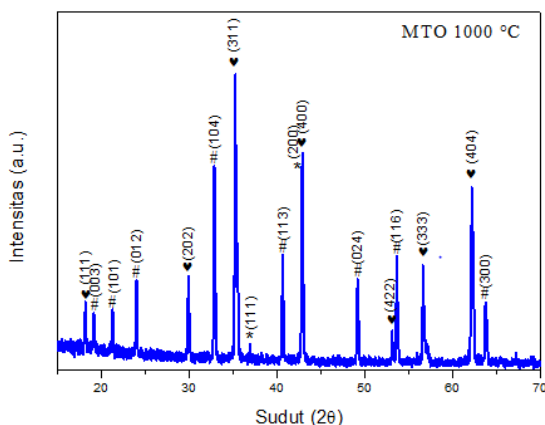
### C. Karakterisasi Sampel

Serbuk hasil sintesis kemudian dikalsinasi pada temperatur 1000 °C. Serbuk hasil kalsinasi kemudian dikarakterisasi XRD untuk mengetahui fasa-fasa apa saja yang terdapat dalam sampel menggunakan alat XRD *Bragg-Brentano Philips X'pert Diffractometer* dengan radiasi Cu-K $\alpha$  dengan rentang sudut 15-70° dengan langkah 0,02°/menit dan posisi detektor zero 0,023 serta pengukuran dilakukan pada temperatur ruang. Uji FTIR dilakukan untuk mengetahui ikatan-ikatan kimia di dalam sampel uji menggunakan alat *Thermo-Scientific FT-IR spectrometer* dengan rentang bilangan gelombang=400-4000 cm $^{-1}$ . Sedangkan uji PSA dilakukan dengan Zetasizer Nano Series Software Version 7.01, Malvern Instrument® untuk mengetahui distribusi ukuran partikel pada sampel.

## **HASIL DAN PEMBAHASAN**

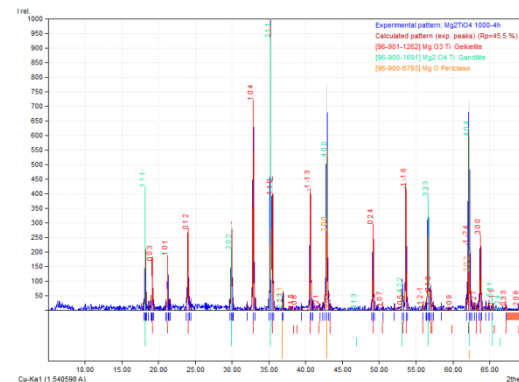
#### A. Identifikasi Fasa Menggunakan Program *Match!*

Analisis kualitatif atau identifikasi fasa dilakukan menggunakan program *Match!* Gambar 1 menunjukkan pola XRD serbuk MTO hasil kalsinasi pada temperatur 1000 °C. Proses identifikasi fasa dilakukan dengan cara mencocokkan puncak-puncak difraksi pada setiap posisi  $2\theta$  antara puncak terukur dengan puncak-puncak difraksi yang sesuai yang ada pada *database PDF (Powder Diffraction File) Match!*



**Gambar 1.** Pola XRD serbuk MTO pada temperatur kalsinasi 1000 °C selama 4 jam.

Gambar 1 menunjukkan pola XRD dari sampel MTO 1000 dengan simbol dan  $hkl$ . Pada gambar tersebut, puncak-puncak difraksi dengan simbol ♥ menyatakan puncak-puncak difraksi milik fasa  $Mg_2TiO_4$ , sedangkan simbol # menyatakan puncak-puncak difraksi milik fasa  $MgTiO_3$ , dan simbol \* menyatakan puncak-puncak difraksi milik fasa  $MgO$ .

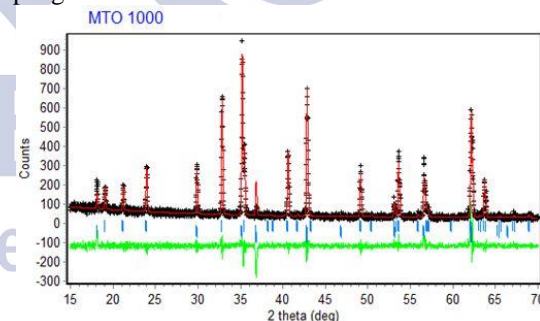


**Gambar 2.** Hasil identifikasi fasa untuk serbuk MTO hasil kalsinasi pada temperatur 1000 °C selama 4 jam.

Gambar 2 menunjukkan hasil identifikasi fasa untuk pola XRD serbuk MTO. Seperti yang terlihat pada Gambar 2, fasa-fasa yang teridentifikasi untuk serbuk MTO hasil kalsinasi pada temperatur 1000 °C adalah  $MgTiO_3$  (No. PDF 06-0494) sebagai fasa utama,  $Mg_2TiO_4$  (No. PDF 25-1157) dan  $MgO$  (No. PDF 45-0946), keduanya sebagai fasa sekunder. Dengan munculnya fasa  $Mg_2TiO_4$ , maka ini membuktikan bahwa metode pencampuran larutan dapat menghasilkan fasa  $Mg_2TiO_4$ . Munculnya fasa  $MgO$  tersebut mungkin disebabkan karena ion  $Mg^{2+}$  belum sempurna membentuk  $MgTiO_3$ .

### B. Analisis Struktur dan Komposisi Fasa

Analisis komposisi fasa (analisis kuantitatif) terhadap pola XRD untuk sampel uji pada penelitian ini dilakukan dengan metode *Rietveld* menggunakan program *Rietica*. Analisis kuantitatif bertujuan untuk mengetahui data komposisi fasa dari semua fasa yang teridentifikasi berdasarkan program *Match!* Data-data tersebut meliputi parameter kisi, % molar, volume sel satuan, dan densitas. Gambar 3 memberikan hasil penghalusan *Rietveld* untuk serbuk MTO 1000.



**Gambar 3.** Hasil penghalusan Rietveld dengan program Rietica untuk sampel MTO pada temperatur kalsinasi 1000 °C (FoM:  $GoF=2,39$ ;  $R_p=12,69$ ;  $R_{wp}=18,87$ ; dan  $R_{exp}=12,21$ ).

Seperti yang terlihat pada Gambar 3, simbol “+” pada gambar menunjukkan pola difraksi terukur (eksperimen), garis merah menunjukkan pola difraksi terhitung (model), garis hijau menunjukkan selisih intensitas antara pola difraksi model dengan pola difraksi eksperimen. Sedangkan garis-garis tegak kecil berwarna biru menunjukkan posisi puncak-puncak Bragg untuk semua fasa yang teridentifikasi berdasarkan program *Match!*

Rekapitulasi hasil penghalusan *Rietveld* untuk serbuk MTO 1000 ditunjukkan pada Tabel 1.

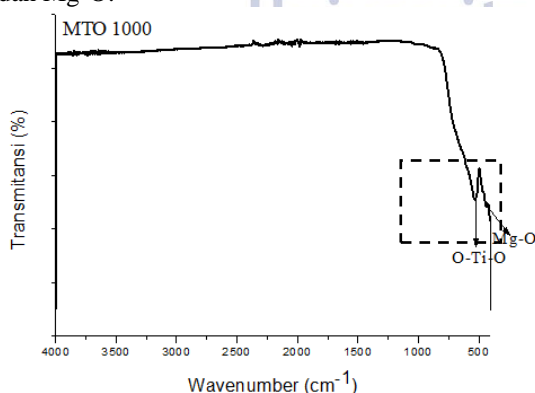
**Tabel 1.** Data komposisi fasa pada serbuk MTO 1000.

Parameter		Fasa Yang Teridentifikasi Pada Sampel		
		$MgTiO_3$	$MgO$	$Mg_2TiO_4$
Parameter Kisi ( $\text{\AA}$ )	a=b	5.057	-	-
	c	13.906	-	-
	a=b=c	-	4.218	8.443
Volume sel satuan ( $\text{\AA}^3$ )		307.953 $\pm 0.035$	75.019 $\pm 0.007$	601.840 $\pm 0.063$
%molar		39.93 $\pm 0.69$	54.32 $\pm 1.50$	5.75 $\pm 0.12$
Densitas ( $\text{g.cm}^{-3}$ )		3.887	3.567	6.192

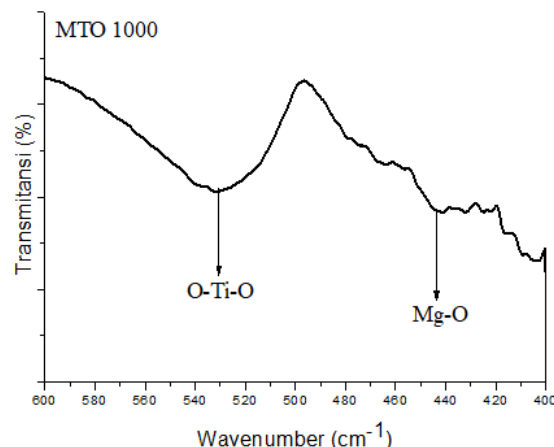
Seperti yang terlihat pada Tabel 1 dapat diperoleh informasi bahwa serbuk MTO 1000 mempunyai struktur atau bangunan yang terbuat dari fasa  $MgTiO_3$ ,  $MgO$ , dan  $Mg_2TiO_4$ . Adapun persentase molar untuk masing-masing fasa pembangun serbuk tersebut adalah sebesar  $(39,93 \pm 0,69)\%$  untuk fasa  $MgTiO_3$ , fasa  $MgO$  sebesar  $(54,32 \pm 1,50)\%$  sedangkan fasa  $Mg_2TiO_4$  terbentuk sangat minor, yaitu  $(5,75 \pm 0,12)\%$ . Adanya fasa  $MgO$  yang masih teridentifikasi mengindikasikan bahwa  $MgO$  masih belum berubah membentuk  $MgTiO_3$ . Sedikitnya keberadaan fasa  $Mg_2TiO_4$  juga mengindikasikan bahwa pada temperatur  $1000\text{ }^\circ\text{C}$  fasa  $Mg_2TiO_4$  baru mulai terbentuk. Literatur (Ermawati et al., 2016) melaporkan bahwa fasa  $Mg_2TiO_4$  baru terbentuk pada temperatur di atas  $1100\text{ }^\circ\text{C}$ .

### C. Analisis Ikatan Kimia Uji FTIR

Karakterisasi FTIR bertujuan untuk mengetahui gugus ikatan kimia pada sampel uji. Gambar 4 menunjukkan hasil uji FTIR untuk serbuk MTO hasil kalsinasi pada temperatur  $1000\text{ }^\circ\text{C}$  selama 4 jam pada rentang bilangan gelombang  $4000-400\text{ cm}^{-1}$ . Perbesaran pada bilangan gelombang  $600-400\text{ cm}^{-1}$  diberikan pada Gambar 5. Terlihat pada gambar, FTIR merekam ada dua puncak adsorbsi, yakni pada bilangan gelombang 531 dan  $446\text{ cm}^{-1}$  terdapat pita vibrasi O-Ti-O dan Mg-O. Dengan adanya kedua vibrasi O-Ti-O dan Mg-O menunjukkan bahwa fasa  $MgTiO_3$  dan  $Mg_2TiO_4$  telah terbentuk sebab kedua fasa tersebut terbentuk akibat adanya vibrasi O-Ti-O dan Mg-O.



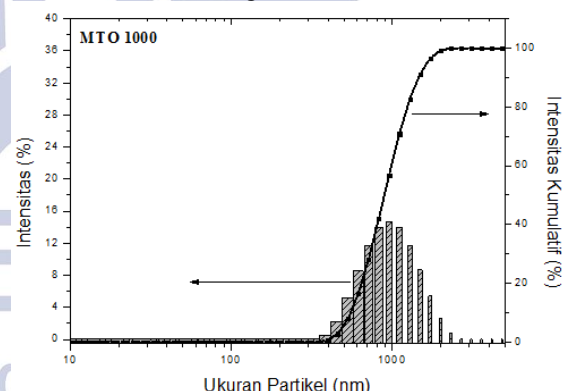
**Gambar 4.** Hasil uji FTIR untuk serbuk MTO hasil kalsinasi pada temperatur  $1000\text{ }^\circ\text{C}$  selama 4 jam pada rentang bilangan gelombang  $4000 - 400\text{ cm}^{-1}$ .



**Gambar 5.** Perbesaran spektrum FTIR pada Gambar 4 antara bilangan gelombang  $600 - 400\text{ cm}^{-1}$ .

### D. Analisis Distribusi Ukuran Partikel

Karakterisasi PSA bertujuan untuk mengetahui distribusi ukuran partikel pada sampel. Gambar 6 menunjukkan distribusi ukuran partikel pada serbuk MTO hasil kalsinasi pada temperatur  $1000\text{ }^\circ\text{C}$  selama 4 jam menggunakan PSA, Zetasizer Nano Series Software Version 7.01, Malvern Instrument. Hasil uji PSA berupa kurva dengan puncak tunggal dan dengan rentang ukuran partikel dari  $(458-1990)$  nm untuk serbuk MTO  $1000\text{ }^\circ\text{C}$ . Ukuran rata-rata partikel adalah sebesar  $847\text{ nm}$  dengan deviasi sekitar  $3\%$  (Tabel 2). Berdasarkan fakta bahwa kurva distribusi berupa kurva dengan puncak tunggal dan nilai deviasi atau penyimpangan ukuran rata-rata kecil, yaitu  $<5\%$ , maka dapat disimpulkan bahwa distribusi ukuran partikel yang ada pada serbuk MTO 1000 tersebut terdistribusi secara homogen.



**Gambar 6.** Distribusi ukuran partikel pada serbuk MTO hasil kalsinasi pada temperatur  $1000\text{ }^\circ\text{C}$  selama 4 jam.

**Tabel 2.** Distribusi ukuran partikel, Ukuran partikel rata-rata dan Deviasinya pada serbuk MTO  $1000\text{ }^\circ\text{C}$ .

Sampel	Distribusi Ukuran Partikel (nm)	Ukuran Partikel Rata-rata (nm)	Deviasi (%)
MTO	458-1990	847	3

### PENUTUP

#### Simpulan

Dari penelitian yang telah dilakukan dapat disimpulkan bahwa sintesis serbuk  $Mg_2TiO_4$  (MTO)

dengan metode pencampuran larutan dapat menghasilkan fasa  $Mg_2TiO_4$ . Serbuk MTO 1000 °C memiliki struktur atau bangunan yang terbuat dari fasa  $MgTiO_3$ ,  $Mg_2TiO_4$ , dan  $MgO$ . Fasa  $Mg_2TiO_4$  terbentuk sebesar ( $5,75 \pm 0,12\%$ ). Ukuran partikel rata-rata pada serbuk MTO 1000 sebesar 847 nm dengan penyimpangan sekitar 3%, dapat disimpulkan bahwa distribusi ukuran partikel yang ada pada serbuk MTO 1000 terdistribusi secara homogen.

## Saran

Untuk mendapatkan hasil yang terbaik, sebaiknya dilakukan uji TGA/DTA pada serbuk hasil sintesis untuk menentukan temperatur pembentukan fasa  $Mg_2TiO_4$ .

## DAFTAR PUSTAKA

- Belous, A.G. 2001. "Physicochemical Aspects of the Development of MW Dielectrics and Their Use." *Journal of the European Ceramic Society* 21 (15): 2717–22. [https://doi.org/10.1016/S0955-2219\(01\)00351-X](https://doi.org/10.1016/S0955-2219(01)00351-X).
- Belous, Anatolii, Oleg Ovchar, Dmitrii Durilin, Marjeta Macek Krzmarc, Matjaz Valant, and Danilo Suvorov. 2006. "High-Q Microwave Dielectric Materials Based on the Spinel  $Mg_2TiO_4$ ." *Journal of the American Ceramic Society* 89 (11): 3441–45. <https://doi.org/10.1111/j.1551-2916.2006.01271.x>.
- Belous, Anatolii, Oleg Ovchar, Dmitrii Durylin, Matjaz Valant, Marjeta Macek-Krzmarc, and Danilo Suvorov. 2007. "Microwave Composite Dielectrics Based on Magnesium Titanates." *Journal of the European Ceramic Society* 27 (8–9): 2963–66. <https://doi.org/10.1016/j.jeurceramsoc.2006.11.022>.
- Bhuyan, Ranjan K., Thatikonda S. Kumar, Dobbidi Pamu, and Ajit R. James. 2013. "Structural and Microwave Dielectric Properties of  $Mg_2TiO_4$  Ceramics Synthesized by Mechanical Method." *International Journal of Applied Ceramic Technology* 10 (September): E18–24. <https://doi.org/10.1111/j.1744-7402.2012.02823.x>.
- Cheng, Lin, Peng Liu, Shi-Xian Qu, Lei Cheng, and Huaiwu Zhang. 2015. "Microwave Dielectric Properties of  $Mg_2TiO_4$  Ceramics Synthesized via High Energy Ball Milling Method." *Journal of Alloys and Compounds* 623 (February): 238–42. <https://doi.org/10.1016/j.jallcom.2014.10.149>.
- Ermawati, F.U., S. Suasmoro, and Suminar Pratapa. 2015. "A Simple Dissolved Metals Mixing Route to Prepare Nanostructured  $Mg_{0.8}Zn_{0.2}TiO_3$  Solid Solution." *Advanced Materials Research* 1112 (July): 47–52. <https://doi.org/10.4028/www.scientific.net/AMR.112.47>.
- Ermawati, F.U., Suminar Pratapa, S. Suasmoro, Thomas Hübner, and Ulrich Banach. 2016. "Preparation and Structural Study of  $Mg_{1-x}Zn_xTiO_3$  Ceramics and Their Dielectric Properties from 1 Hz to 7.7 GHz." *Journal of Materials Science: Materials in Electronics* 27 (7): 6637–45. <https://doi.org/10.1007/s10854-016-4610-6>.
- Petrova, M. A., G. A. Mikirticheva, A. S. Novikova, and V. F. Popova. 1997. "Spinel Solid Solutions in the Systems  $MgAl_2O_4-ZnAl_2O_4$  and  $MgAl_2O_4-Mg_2TiO_4$ ." *Journal of Materials Research* 12 (10): 2584–88. <https://doi.org/10.1557/JMR.1997.0343>.
- Silva, M. R. S., S. C. Souza, I. M. G. Santos, M. R. Cassia-Santos, L. E. B. Soledade, A. G. Souza, S. J. G. Lima, and E. Longo. 2005. "Stability Studied on Undoped and Doped  $Mg_2TiO_4$ , Obtained by the Polymeric Precursor Method." *Journal of Thermal Analysis and Calorimetry* 79: 421–424.
- Wechsler, Barry A., and Robert B. Von Dreele. 1989. "Structure Refinement Of  $Mg_2TiO_4$ ,  $MgTiO_3$  and  $MgTi_2O_5$  by Time-of-Flight Neutron Powder Diffraction," 542–549.
- Xu, Lihua, Fang Lian, Juan Yang, and J.M.F. Ferreira. 2002. "A Novel Wet-Chemical Process to Synthesize  $Ba(Mg_{1/3}Ta_{2/3})O_3$  Nanopowders." *Ceramics International* 28 (5): 549–52. [https://doi.org/10.1016/S0272-8842\(02\)00008-1](https://doi.org/10.1016/S0272-8842(02)00008-1).
- Zhang, Mingming, Lingxia Li, Wangsuo Xia, and Qingwei Liao. 2012. "Structure and Properties Analysis for  $MgTiO_3$  and  $(Mg_{0.97}M_{0.03})TiO_3$  ( $M=Ni, Zn, Co$  and  $Mn$ ) Microwave Dielectric Materials." *Journal of Alloys and Compounds* 537 (October): 76–79. <https://doi.org/10.1016/j.jallcom.2012.05.026>.